UNIVERSITÉ CHEIKH ANTA DIOP DE DAKAR 1/4
OFFICE DU BACCALAUREAT
E.mail : office@ucad.edu.sn
site web : officedubac.sn

22G27N0153
Durée: 4 heures
Séries :S2-S2A-Coef 6
Séries : S4-S5-Coef 5

Corrigé preuve du 1er groupe

SCIENCES PHYSIQUES

Exercice 1 (4 points)

1.1 les formules semi-développées

alcool (A) : M(Alcool A) = M($C_nH_{2n+2}O$) = 60 soit 14n +18 = 60 et n = 3 ; A : C_3H_8O

A est un alcool secondaire ; semi-développée est : **CH_3—CH(OH)—CH_3**. **(0,25pt)**

Ester (E) : $CH_3 - COO - CH(CH_3) - CH_3$ **(0,25pt)**

Acide (D) : CH_3COOH acide éthanoïque **(0,25pt)**

Alcool (A) : propan-2-ol ; **(0,25pt)**

Ester (E) : l'éthanoate d'isopropyle ou l'éthanoate de 1-méthyléthyle. **(0,25pt)**

1.2.1 Caractéristiques : La saponification est lente et totale. **(0,25pt)**

1.2.2 Equation de la réaction

$CH_3\text{-}COO\text{-}CH(CH_3)\text{-}CH_3 + (Na^+ + OH^-) \rightarrow (CH_3\text{-}COO^- + Na^+) + CH_3\text{-}CHOH\text{-}CH_3$ **(0,25pt)**

1.3.1 Montrons que $[\text{Alcool}] = C - \frac{C_aV_a}{V}$

	$CH_3\text{-}COO\text{-}CH(CH_3)\text{-}CH_3$	+ $(Na^+ + OH^-)$	→ $(CH_3\text{-}COO^- + Na^+)$	+ $CH_3\text{-}CHOH\text{-}CH_3$
t = 0	n_0	n_0	0	0
t ≠ 0	$n_0 - x$	$n_0 - x$	x	x

D'après le dosage : $n_0 - x = C_aV_a$ soit $[\text{Alcool}] = \frac{x}{V} = \frac{n_0 - C_aV_a}{V} = \frac{CV - C_aV_a}{V} = C - \frac{C_aV_a}{V}$

$$\boxed{[\text{Alcool}] = C - \frac{C_aV_a}{V}}$$ **(0,25pt)**

1.3.2 Complétons le tableau **(0,25pt**

Date t (min)	2	4	6	8	10	12	14
Volume Va (cm^3)	8,55	7,40	6,80	6,45	6,20	6,00	6,00
[Alcool] (10^{-3} mol/L)	1,4	2,6	3,2	3,6	3,8	4,0	4,0

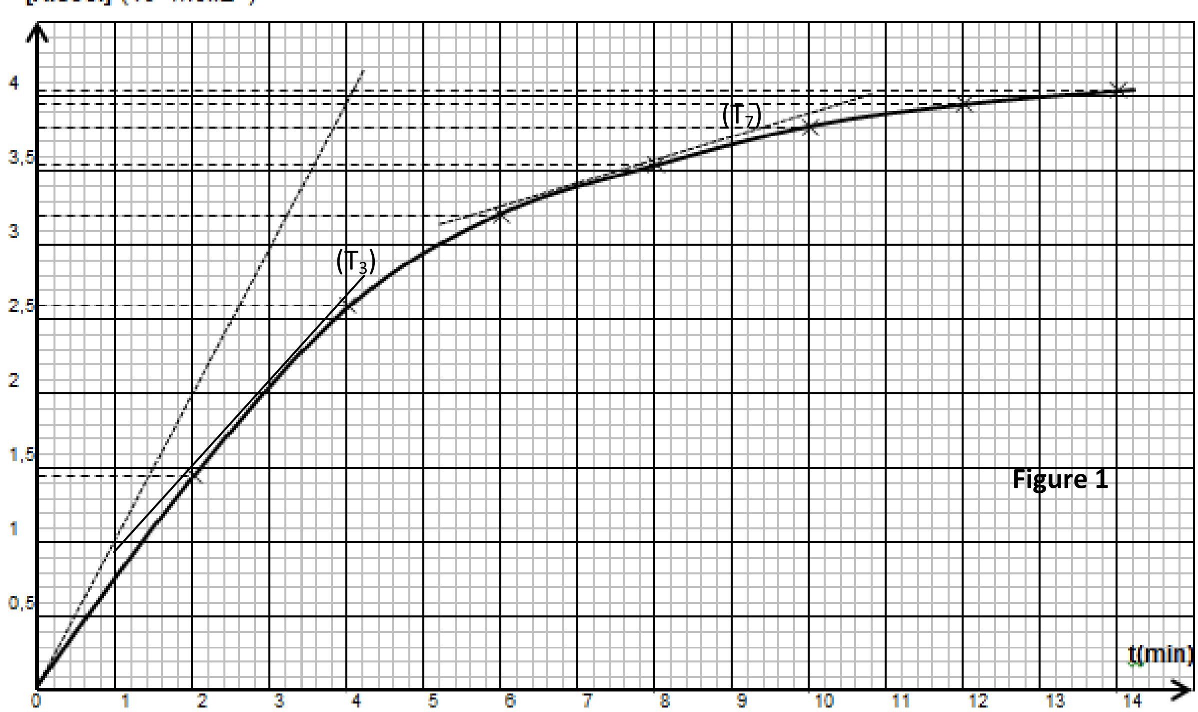

Figure 1

La vitesse instantanée volumique de formation de l'alcool est la dérivée par rapport au temps de la concentration molaire de l'alcool ($v = \frac{d[Alcool]}{dt}$). **(0,25 pt)**

<u>**1.3.4**</u> Vitesses de formation aux dates $t_1 = 3$ et $t_2 = 7$ min.

$v(A)_{t1} = 5,6.10^{-4}$ mol/L ; $v(A)_{t2} = 1,4.10^{-4}$mol/L. **(2x0,25 pt)**

Evolution de la vitesse de formation et facteur cinétique responsable.

La vitesse diminue à cause de la diminution de la concentration des réactifs. **(2x0,25pt)**

<u>**Exercice 2**</u> **(4 points)**

<u>**2.1**</u> La formule brute A

$C_xH_yO_2N$ $\frac{M}{100} = \frac{14}{\%N}$ donc M = 89 g.mol^{-1}

$\frac{M}{100} = \frac{12x}{\%C} \Longrightarrow x = 3$; $\frac{M}{100} = \frac{y}{\%H} \Longrightarrow y = 7$ donc on la formule brute de A est

$\boxed{C_3H_7O_2N \quad \textbf{(0,5pt)}}$

<u>**2.2**</u> Formule semi-développée et nom de A

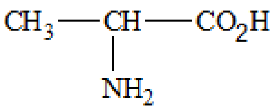

Nom : acide 2-amino propanoique **(2x0,25pt)**

<u>**2.3**</u> Chiralité de la molécule de A.

La molécule est chirale car contient un seul carbone asymétrique. **(0,5pt)**

<u>**2.4**</u> Représentation de Fischer des deux énantiomères. **(0,5 pt)**

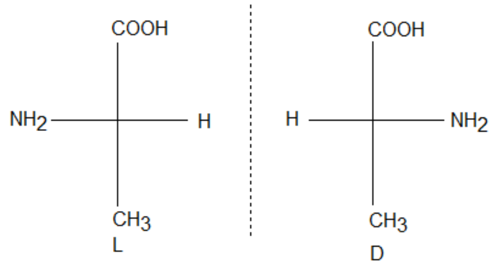

<u>**2.5**</u>

<u>**2.5.1**</u> les fonctions chimiques

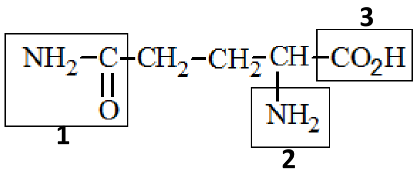

1 : Amide, 2 : amine et 3 : acide carboxylique.

(0,75pt)

<u>**2.5.2**</u> Equation-bilan de la synthèse du dipeptide

(0,5pt)

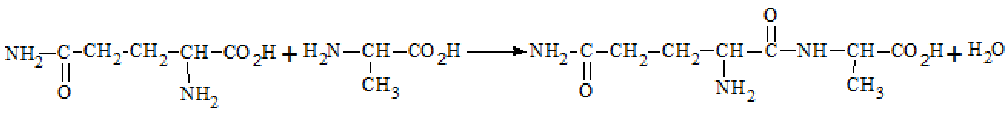

<u>**2.5.3**</u> Masse de glutamine

M (Dipeptide) = 217 g.mol^{-1}; M(A) = 89 g.mol^{-1} ; M(Glu) = 146 g.mol^{-1}

$r = \frac{n_{dipeptide}}{n_{glu}} = \frac{m_{dipeptide} \cdot M_{glu}}{M_{dipeptide} \cdot m_{glu}} \Longrightarrow m_{glu} = \frac{m_{dipeptide} * M_{glu}}{M_{dipeptide} * r} \Longrightarrow m_{glu} = \frac{110*146}{217*0,75} = 98,7$ **(0,75pt)**

$\boxed{m_{glu} = 98,7 \text{ g}}$

<u>**Exercice 3**</u> **(4 points)**

3.1 Etude dynamique

<u>**3.1.1**</u> Représentation des forces qui s'exercent sur (S)

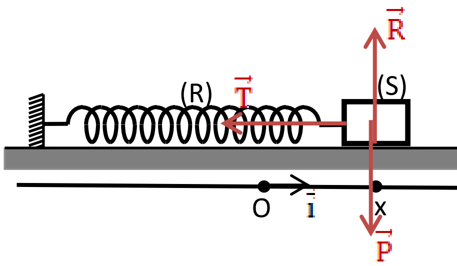

Figure 2

(0,75pt)

3.1.2 Equation différentielle

T.C.I appliquée à (S) : $\vec{P} + \vec{R} + \vec{T} = m\vec{a}$

Projection sur $\vec{i}$: -T = ma $\Longrightarrow$ $-kx = m\ddot{x}$ $\boxed{\Longrightarrow \ddot{\mathbf{x}} + \frac{\mathbf{k}}{\mathbf{m}}\mathbf{x} = \mathbf{0}}$ **(0,25pt)**

3.1.3.1 Détermination de X_m, T_0 et φ

D'après l'oscillogramme :

X_m = 12 cm	T_0 = 0,88 s

(2x0,25pt)

à t = 0 $x_0 = X_m cos\varphi = -12\ cm \Longrightarrow cos\varphi = -1 \Longrightarrow \boldsymbol{\varphi = \pi}$ **(0,25pt)**

3.1.3.2 Equation horaire numérique

$$\omega_0 = \frac{2\pi}{T_0} = \frac{2\pi}{0{,}88} = 7{,}1\ rad.s^{-1}$$

$$\boxed{x(t) = 12.10^{-2}\cos(7{,}1\,t + \pi)}$$

(0,25pt)

Valeur de k.

$T_0 = \frac{2\pi}{\omega_0} = 2\pi\sqrt{\frac{m}{k}} \Longrightarrow k = 4\pi^2\frac{m}{T_0^2}$ AN : $k = 4\pi^2\frac{0{,}1}{0{,}88^2}$ = 5,09

$$\boxed{k = 5{,}1\ N.m^{-1}}$$

(0,25pt)

3.2 Etude énergétique.

3.2.1 Expression de l'énergie mécanique.

$E = Ec + Ep; Ec = \frac{1}{2}mv^2$ et $Ep = Epe = \frac{1}{2}kx^2\ (Epp = 0) \Longrightarrow$

$$\boxed{E = \frac{1}{2}mv^2 + \frac{1}{2}kx^2}$$

(0,25pt)

3.2.2 Expression de l'énergie mécanique en fonction de k et X_m.

$E = \frac{1}{2}mv^2 + \frac{1}{2}kx^2\ ; x = X_m\cos(\omega_0 t + \varphi)$ et $v = -X_m\omega_0\sin(\omega_0 t + \varphi) \Longrightarrow$

$E = \frac{1}{2}mX_m^2\omega_0^2\sin^2(\omega_0 t + \varphi) + \frac{1}{2}kX_m^2\cos^2(\omega_0 t + \varphi);\ m\omega_0^2 = k \Longrightarrow$

$E = \frac{1}{2}kX_m^2[\sin^2(\omega_0 t + \varphi) + \cos^2(\omega_0 t + \varphi)]$

$$\boxed{E = \frac{1}{2}k\,X_m^2}$$

(0,25pt)

3.2.3 Déduction de la valeur de E

D'après graphe E = $3{,}6.10^{-2}$J (E = Epmax)

$E = \frac{1}{2}kX_m^2 \Longrightarrow$

$\boxed{E = 3{,}6.10^{-2}J}$ **(0,25 pt)**

$k = \frac{2E}{X_m^2} = \frac{2 * 3{,}6.\,10^{-2}}{0{,}12^2} = 5$ $\boxed{k = 5\ N/m}$ **(0,25 pt)**

3.2.4 Abscisses et vitesses pour Ep = Ec

$E = Ec + Ep$ or $Ec = Ep \Longrightarrow E = 2Ep = 2Ec \Longrightarrow Ec = Ep = \frac{E}{2} \Longrightarrow \frac{1}{2}mv^2 = \frac{1}{2}kx^2 = \frac{E}{2}$

$x = \pm\sqrt{\frac{E}{k}} = \pm\sqrt{\frac{3{,}6.10^{-2}}{5}} = \pm 8{,}5$ $\boxed{x = \pm 8{,}5\ cm}$ **(0,5pt)**

$v = \pm\sqrt{\frac{E}{m}} = \pm\sqrt{\frac{3{,}6.10^{-2}}{0{,}1}} = \pm 0{,}6\ m.s^{-1}$ $\boxed{V = \pm 0{,}6\ m.s^{-1}}$ **(0,25pt)**

Exercice 4 **(4 points)**

4.1.1 Représentation de $\vec{B}$; indication des faces du solénoïde et calcul B.

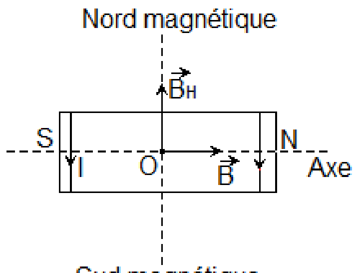

Figure 4

- Représentation de $\vec{B}$ et indication des faces **(figure 4)**

(2x 0,25pt)

- Intensité de $\vec{B}$

$$\boxed{B = \mu_0 \frac{N}{l} I = 5{,}24.10^{-5}\ T}$$

(0,25pt)

4.1.2 Représentation de la composante horizontale $\vec{B_H}$ du champ magnétique terrestre au point O. **(0,25pt)**

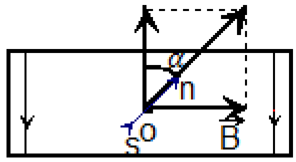

Figure 5

Détermination de l'angle α

$\tan\alpha = \frac{B}{BH} = \frac{5{,}24.10^{-5}}{2.10^{-5}}$

$$\boxed{\Longrightarrow \alpha = 69° \quad \textbf{(0,5pt)}}$$

4.2.1 Expression inductance L et valeur de L

$\phi = N\,\vec{B}.\vec{S} = N\,B\,S = \mu_0 \frac{N^2}{l} S\,I$ et $\phi = L\,I \quad \Longrightarrow$ $\boxed{L = \mu_0 \frac{N^2}{l} \pi r^2}$ **(0,25pt)**

$$\boxed{L = 2{,}06.10^{-3}\ H = 2{,}06\ mH}$$ **(0,25pt)**

4.2.2 Equation différentielle vérifiée par l'intensité du courant i(t).

$u_R + u_L = E$ **(Figure 6)**

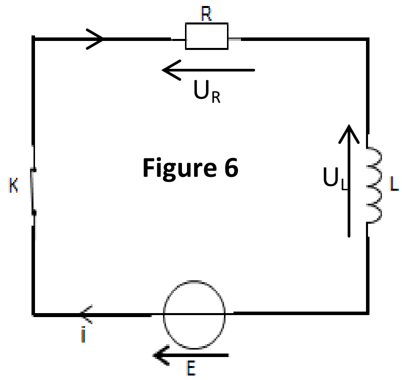

Figure 6

$$\boxed{Ri + L\frac{di}{dt} = E}$$

(0,75pt)

4.2.3 Vérification de $i(t) = I_p\,(1 - e^{\frac{-t}{\tau}})$ et Expressions de Ip et τ en fonction de E, R et L.

$Ri + L\frac{di}{dt} = RI_p\left(1 - e^{-\frac{t}{\tau}}\right) + \frac{LI_p}{\tau} e^{-\frac{t}{\tau}} = \left(\frac{L}{\tau} - R\right) I_p e^{\frac{-t}{\tau}} + RI_p$ **(0,25pt)**

Par identification

$Ri + L\frac{di}{dt} = E$

$$\boxed{\Leftrightarrow \begin{cases} \frac{L}{\tau} - R = 0 \\ RI_p = E \end{cases} \Longrightarrow \begin{cases} \tau = \frac{L}{R} \\ I_p = \frac{E}{R} \end{cases} \quad \textbf{(2x 0,25pt)}}$$

4.2.4 Valeur de l'énergie emmagasinée dans le solénoïde

$E = \frac{1}{2} Li^2 = \frac{1}{2} LI_p^2(1 - e^{-1})^2 = \frac{0{,}63^2 L.E^2}{2.R^2} = 2{,}616.10^{-6}$ $\boxed{E = 2{,}616.10^{-6}\ J}$ **(0,5pt)**

Exercice 5 **(4 points)**

5.1 Valeur de l'énergie de l'atome d'hydrogène à l'état fondamental

D'après diagramme :

$$\boxed{E_1 = -13{,}6\ eV} \quad \textbf{(0,25pt)}$$

5.2 Radiation absorbée

$E_n - E_2 = \frac{hc}{\lambda_{2,n}} \quad \Longrightarrow \lambda_{2,3} = \frac{36hc}{5E_0} = 657\ nm$: C'est la radiation rouge λ = 657 nm qui est absorbée.

(0,5pt)

5.3.1 Montrons la longueur d'onde qui correspond à la transition s'exprime par $\frac{1}{\lambda_{p,n}} = R_H(\frac{1}{p^2} - \frac{1}{n^2})$

$E_n - E_p = \frac{hc}{\lambda_{p,n}} = E_0 \frac{(1}{p^2} - \frac{1)}{n^2}$ $\Longrightarrow$ $\frac{1}{\lambda_{p,n}} = \frac{E_0}{hc}(\frac{1}{p^2} - \frac{1}{n^2})$

En posant $R_H = \frac{E_0}{hc}$, on a $\frac{1}{\lambda_{p,n}} = R_H(\frac{1}{p^2} - \frac{1}{n^2})$

(2x0,25pt)

<u>5.3.2</u> calculs de p

$\frac{1}{\lambda_{p,n}} = R_H(\frac{1}{p^2} - \frac{1}{n^2})$ donc $\frac{hc}{\lambda E_0} = \frac{1}{p^2} - \frac{1}{16}$ ainsi $\frac{hc}{\lambda E_0} + \frac{1}{16} = \frac{1}{p^2}$

$$p = \sqrt{\frac{16\lambda E_o}{\lambda E_o + 16\, hc}}$$

$$p = \sqrt{\frac{16x1{,}86.10^{-6}x13{,}6x1{,}6.10^{-19}}{1{,}86.10^{-6}x13{,}6x1{,}6.10^{-19} + 16\,x6{,}62.10^{-34}x3.10^8}} = 3$$

p = 3

(0,25pt)

<u>5.4</u> Longueur d'onde capable d'ioniser l'atome d'hydrogène à partir de son état fondamental.

$$\frac{1}{\lambda_{1,\infty}} = 1{,}095.10^7 \left(\frac{1}{1^2} - \frac{1}{\infty}\right) = 1{,}095.10^7$$

$\lambda_i = 9{,}13210^{-8}m$ = 91,32 nm

(0,75pt)

<u>5.5</u>

<u>5.5.1</u> Aspect des franges.

Les franges d'interférence sont alternativement brillantes et sombres.

(0,25 pt)

<u>5.5.2</u> Définition de l'interfrange i et établissement de l'expression i = $\frac{\lambda D}{a}$

L'interfrange i est la distance qui sépare deux franges consécutives de même nature.

(0,25pt)

Position du milieu d'une frange brillante x = $k\frac{\lambda D}{a}$.

i = $\frac{(k+1)\lambda D}{a} - \frac{k\lambda D}{a} = \frac{\lambda D}{a}$

$$i = \frac{\lambda D}{a}$$

(0,25pt)

5.5 .3 Détermination de la distance a qui sépare les deux sources S_1 et S_2

$d = 9{,}5i = 9{,}5\frac{\lambda D}{a} \Longrightarrow a = 9{,}5\ \frac{\lambda D}{d} = 9{,}5 * \frac{652.10^{-9} * 1}{3{,}42310^{-3}} = 1{,}8.10^{-3}m$

$a = 1{,}8.10^{-3}m = 1{,}8\,mm$

(1pt)